

gach

ции приема пищи и воды

огач

ніверситета ім. Т. Г. Шевченко

ме

Х с помощью методов электрического вления и охлаждения гипоталамуса различные его части небольших покозы и поваренной соли изучали приема пищи и воды. Раздражение гипоталамуса несколько уменьшает, а раздражение гипоталамуса увеличивает прием пищи и воды. Раздражение гипоталамуса наблюдается поисково-обнаружение предметов, жевание, полярного раздражения различного питья установлено, что прием пищи и воды вызывает прием пищи и значительное количество воды вызывает областей супраоптического и латерального гипоталамуса прием пищи и воды. Делается заключение, что прием пищи и воды, деятельность центров питья, го-

in the Regulation water Intake

гач

Шевченко State University, Kiev

у

е definite influences of electrical stimulation of the hypothalamus, local heating and cooling amounts of distilled water, the bird ventricle and tissue of hypophysis established.

ntromedial nuclei of the hypothalamus in dogs while stimulation of the dorsal part of the hypothalamus was found.

al stimulation of the different parts of the «drinking centre» in the hypothalamus was found.

tive functions of the hypothalamus in the regulation of water intake.

drinking, feeding, satiety and thermal regulation.

ФІЗІОЛОГІЧНИЙ ЖУРНАЛ АКАДЕМІЇ НАУК УКРАЇНСЬКОЇ РСР, 1968, т. XIV, № 3

Про взаємодію між повільними і піковими потенціалами в поодиноких первинних аферентних волокнах спинного мозку кішки

Т. М. Мамонець

Відділ електрофізіології центральної нервової системи Інституту фізіології ім. О. О. Богомольця АН УРСР, Київ

Френк і Фуортес [12, 13] показали, що імпульси, які надходять на мотонейрони з м'язових аферентів, викликали зменшення моносинаптичного збуджувального постсинаптичного потенціалу (ВПСП) без будь-яких помітних змін у мембранистому потенціалі або збудливості цих же нейронів. Френк [12] вважає, що зменшення амплітуди ВПСП відбувається за рахунок змін, які виникають далеко на дendirтах мотонейронів і тому в самі мотонейроні не можна було виявити будь-якого сліду гальмування. Він назав цей феномен «віддаленим гальмуванням».

Ряд дослідників пояснили цей феномен зменшенню збуджувальної дії пресинаптичних імпульсів, а процес, який викликає зменшення, назвали «пресинаптичним гальмуванням» [5, 8, 13].

За останні кілька років опубліковано досить багато праць, в яких описана тривала деполяризація поодиноких первинних аферентних волокон спинного мозку (первинна аферентна деполяризація — ПАД). Всі дослідники прийшли до висновку, що тривалий негативний електротонічний потенціал дорсального корінця являє собою суму тривалих потенціалів поодиноких аферентних волокон, які входять до складу цього корінця, тобто суму ПАД [6, 7, 15].

В 1961 р. Екклс висловив припущення, що електротонічний потенціал дорсального корінця (або ПАД) зумовлює пресинаптичне гальмування. В зв'язку з цим величезний інтерес становить дослідження взаємодії між ПАД і ортодромними потенціалами дії в тому самому волокні. Важливо знати, як при цьому змінюються величина пікових потенціалів. Зменшення цих потенціалів розглядається як результат пресинаптичного гальмування [6, 8].

Екклс і Малcolm [9] намагалися це з'ясувати на дорсальному корінці жаби, але в таких умовах зробити це важко, оскільки ортодромний потенціал дії сам викликає досить великий потенціал дорсального корінця, що дуже утруднювало аналіз.

Такеучі і Такеучі [18] на гігантському аксоні кальмара показали, що пресинаптична деполяризація зменшувала величину пресинаптичного пікового потенціалу, в результаті чого, можливо, виникало зменшення ВПСП.

Екклс, Шмідт і Вілліс [10] спостерігали зменшення пікових потенціалів аферентних нервових волокон спинного мозку кішки на фоні ПАД, яке не перевищувало кількох процентів. Вони досліджували взаємодію між ПАД і поодиноким ортодромним потенціалом. Ми прагну-

ли з'ясувати, що відбувається з піковими потенціалами і ПАД за умов найбільш близьких до природних, за яких в мозок по аферентних волокнах надходить серія імпульсів.

Методика дослідження

В наших дослідах була застосована звичайна методика мікроелектродного відведення потенціалів [1, 3]. Мікроелектрод (скляний капіляр, заповнений розчином 2,5 M KCl) заглиблювали в мозок з боку дорсальної поверхні медіальніше від відділення VI лумбального коріння або на межі VI і VII лумбальних сегментів. Ідентифікацію аферентного волокна здійснювали за частотою відтворення ним пікових потенціалів (500 на секунду). Потенціали реєстрували зоні і всередині активних і пасивних волокон, які входять до складу VII лумбального заднього корінця або великомілкового нерва. Під пасивними волокнами розуміють ті волокна, в яких розвиваються тільки електротонічні потенціали або рефлекс дорсального коріння, в активних же волокнах виникає ще й ортодромний потенціал дії. Реєстрації провадили від волокон, розташованих на різній глибині мозку, за допомогою катодного осцилографа з підсилювачем змінного струму (постійна часу становить 4 сек), на вихід якого був катодний повторювач, змонтований на лампі БСІЖ. Відхилення променя осцилографа другорядно відповідало позитивному потенціалу, який розвивається в ділянці мікроелектрода. Компенсація емкості мікроелектрода не використовувалась, тому відбувалась деяка втрата амплітуди пікового потенціалу. Всього досліджено 90 волокон.

Температура мозку була 32–37°. Тварину наркотизували нембуталом (30 мг/кг). Нерви подразнювали за допомогою стимулатора, вихід якого з'єднували з подразнюючими електродами через трансформатор. Сила подразнюючого стимулу від погого до максимального становила до двох вольт, тривалість — 0,5 мсек. Частота подразнюючих стимулів була від 40 до 500 на секунду. Такі частоти подразненнями обрали з таких причин. З літературних даних відомо, що рецептори м'язів спроможні генерувати 30–200 розрядів на секунду [11, 14, 17]. Рецептори шкіри також генерують розряди досить великої частоти: від 40 до 400 на секунду. Вони можуть виникати групами. Тривалість кожної групи розрядів становить близько 20–100 мсек, а частота розрядів у таких групах — приблизно 10–400 на секунду [16].

Результати дослідження та їх обговорення

Тривалість подразнення в наших дослідах становила 40 мсек з двох причин. По-перше, саме в цей час спостерігається максимальна величина ПАД і тому саме в цей момент цікаво дослідити взаємодію ПАД і потенціалів дії.

По-друге, нами раніше було встановлено, що при ритмічному подразненні на протязі перших 40–100 мсек електротонічний потенціал дорсального коріння виникає тільки на перший стимул, решта стимулів не викликали відповіді і на них електротонічний потенціал не виникав.

На рис. 1, А, осцилограма 1, наведена відповідь VII лумбального дорсального коріння при одиночному подразненні поверхневої гілочки маломілкового нерва. Осцилограма 2 одержана шляхом накладення кількох відповідей: відповіді на одиночне подразнення (перша стрілка), на частоту подразнення 40 на секунду при тривалості подразнення 400 мсек (друга стрілка) і відповіді на таку саму частоту подразнення при тривалості більше секунди (третя стрілка). На цих осцилограмах видно, що навіть протягом 200 мсек відповіді на одиночне і частотне подразнення одинакові. Детальніше про це написано в іншій нашій роботі [2].

Те саме ми спостерігали в поодинокому аферентному волокні як у пасивному, так і в активному. Тільки перший стимул викликав ПАД, а на наступні вона повністю була відсутня. Це полегшувало аналіз взаємодії потенціалів.

На рис. 1, А наведені внутріклітинні відповіді (осцилограми 1–4),



Рис. 1. ПАД пасивні
і потенціали дорсальних

А — осцилограми 1–4.
мембраний потенціал
Оscилограми 1 і 7 —
на частоту подразнення
Б — осцилограми 1–5
потенціал 60 мс; 6 і 7
відповіді на частоту подразнення
В — потенціали VII лумбального нерва

а також відповіді, одержані волокна спинного мозку (они 1200 мк, при подразненні нерва. На рисунку видно, що секунду величина потенціалів одинично подразнення. Іноді відбувається невелике збільшення д

вими потенціалами і ПАД за умов, а яких в мозок по аферентних волокнах.

ослідження

Вивчена методика мікроелектродного від-скляння капіляра, заповнений розчином дорсальної поверхні медіальніше від входів VI і VII лумбальних сегментів. Ідентифікація за частотою відтворення ним пікових реєстрували зовні і всередині активних і П лумбального заднього коріння або венків розуміють ті волокна, в яких роз-або рефлекс дорсального коріння, в актівний потенціал дії. Реєстрація проводили в мозку, за допомогою катодного осцилографа часу становить 4 сек., на вихіді на лампи 6С1Ж. Відхилення променя потенціалу, який розвивається в ділянці електрода не використовувалась, тому від-тетенціалу. Всього досліджено 90 волокон. Наркотизували нембуталом (30 мг/кг). Тора, вихід якого з'єднували з подразнювачем. Сила подразнювального стимулу від по-100 вольт, тривалість — 0,5 мсек. Частота 100 на секунду. Такі частоти подразнення даних відомо, що рецептори м'язів сприяли [11, 14, 17]. Рецептори шкіри також від 40 до 400 на секунду. Вони можуть розрізнятися становити близько 20–100 мсек, відно 10–400 на секунду [16].

та їх обговорення

У дослідах становила 40 мсек з час спостерігається максимальна частота цікаво дослідити взаємодію

ствовлено, що при ритмічному подразненні 40 мсек електротонічний потенціал на перший стимул, решта в них електротонічний потенціал

ведені відповідь VII лумбального подразненні поверхневої гілочки 2 одержана шляхом накладення очіє подразнення (перша стрілка) при тривалості подразнення на таку саму частоту подразнення (третя стрілка). На цих осцилографах відповіді на одиночне і чи-про це написано в іншій нашій

нокому аферентному волокні як і перший стимул викликав ПАД, сутня. Це полегшує аналіз ні відповіді (осцилограми 1–4),

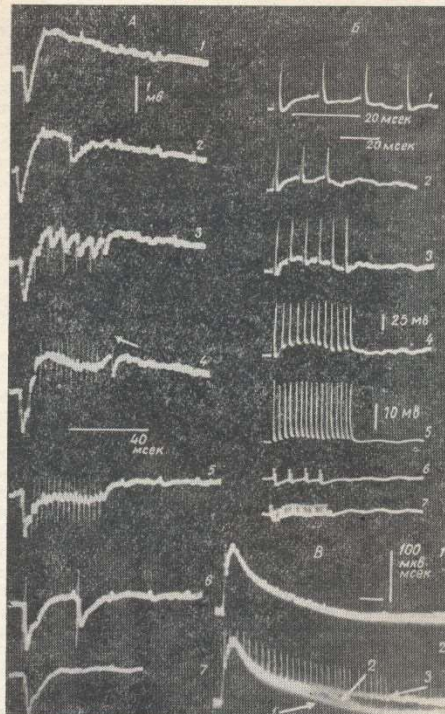


Рис. 1. ПАД пасивного волокна (A), активного волокна (B) і потенціали дорсального коріння (C) при ритмічному подразненні.

A — осцилограми 1–4, одержані при внутріклітинному відведенні, мембраний потенціал 50 мВ; осцилограми 5–7 — зовні волокна. Осцилограмми 1–7 відповідно: 1 — перший стимул; 2 — подразнення на частоту подразнення 40/сек.; 3 — 100/сек.; 4 і 5 — 400/сек.

B — осцилограми 1–5 при внутріклітинному відведенні, мембраний потенціал 60 мВ; 6 і 7 — зовні волокна. Осцилограмми 1 і 6 — відповіді на частоту подразнення 100/сек.; 2 — 75/сек.; 3 — 150/сек.; 4 і 5 — 300/сек.; 7 — 400/сек.

C — потенціали VII лумбального дорсального коріння при подразненні поверхневої гілки малогомілкового нерва. Детальніше — в тексті.

а також відповіді, одержані зовні поодинокого аферентного волокна спинного мозку (осцилограми 5–7), розташованого на глибині 1200 мк, при подразненні поверхневої гілки малогомілкового нерва. На рисунку видно, що при частоті подразнення 40, 150 і 400 на секунду величина потенціалу залишалася майже такою самою, як і на одиночне подразнення. Іноді після припинення подразнення відзначалось невелике збільшення деполяризації волокна (осцилограми 3 і 4).

Аналогічне явище спостерігали інколи Екклс, Шмідт і Вілліс [10], а також і ми на цілом дорсальному корінці. Часто в поодинокому волокні поряд з посиленням деполяризації виникає потенціал дії, який відображає рефлекс дорсального корінця (осцилограма 4, стрілка).

На рис. 1, Б наведені відповіді активного волокна, розташованого на глибині 300 мк. В цьому випадку при ритмічному подразненні спо-

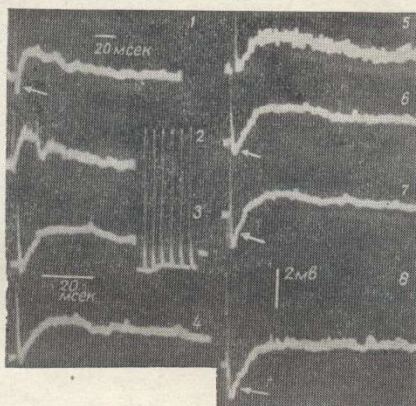


Рис. 2. Осцилограми ПАД, зареєстровані послідовно від того самого волокна протягом 5 хв. Глибина 600 мк. Мембраний потенціал — 60 мв. Подразнення зазнав VІІ люмбальний корінець, а відводилася реакція біля входу його в мозок.

Пояснення в тексті.

стерігалася така сама закономірність, як і в пасивному волокні. ПАД не збільшувалася при почастішанні подразнення навіть до 300 на секунду (осцилограми 1—4).

Слід спинітися на одному моменті мікроелектродного відведення потенціалу від поодинокого волокна (рис. 2). Коли мікроелектрод вдається проникати всередину волокна і при цьому, імовірно, поверхня волокна охоплювала його досить щільно, тоді відводили потенціали, осцилограми яких позначені 2—5. Якщо поверхня волокна погано охоплювалася мікроелектрод (осцилограми 1, 6), то між потенціалом дії і ПАД виникало коливання потенціалу, позначене стрілкою. Через деякий проміжок часу умови відведення змінювались. В місці знаходження мікроелектрода волокно, очевидно, зазнавало пошкодження, і тоді ми відводили потенціали, представлені на осцилограмах 7, 8. При порівнянні осцилограм 3 і 8 можна бачити, що величина пікового потенціалу пошкодженого волокна зменшувалася до 5 мв, зменшувалася ПАД і сильно збільшувалось коливання потенціалу між піком і ПАД. Можна припустити, що в такому випадку ми реєстрували змішану реакцію, одночасно спостерігали потенціали зсередини волокна і зовні його.

Діаметр аферентних волокон не пошкодити волокна мікроелектрода менш електричні реакції яких ошкоджено, а іноді мікроелектрод протягом деякого часу.

Але дуже часто при відведення потенціалу, яке супроводжує слідову гіперполаризацію, такому випадку піковий потенціал зникає.

При відведенні потенціалу, яке супроводжує слідову гіперполаризацію, такому випадку піковий потенціал зникає.

На рис. 3, 5 можна бачити, що величина таких потенціалів залишилася незмінною: деполяризації значали (рис. 1, А і Б), і підсумовувалася протягом 5 хв. Тому можна гадати, що коли відводили потенціали, підсумовувались слідові потенціали, підсумовувались змінами величини пікового потенціалу.

На рис. 3, А показано зміну величини пікового потенціалу під час подразнення невеликої кількості волокон, розташованому слідом за яким розвивалася гіперполаризація. Під час подразнення ми давали відповідь на це зміни величини пікового потенціалу (Б) — на 8%. Зменшувалася величина пікового потенціалу — на 5—8%.

Таким незначним зменшенням величини ПАД може бути зареєстровано, як це пояснили Екклс [10].

При відведенні потенціалу, яке супроводжує

зміну величини ПАД, може бути зареєстровано зміну величини ПАД, як це пояснили Екклс [10].

Детальніше взаємодію досліджували, оскільки це відповідно до мінімальному подразненню всіх волокон, ніж при парному подразненні, та, що виникли зміни величини ПАД в синапсах.

Детальніше взаємодію досліджували, оскільки це відповідно до мінімальному подразненню всіх волокон, ніж при парному подразненні, та, що виникли зміни величини ПАД в синапсах.

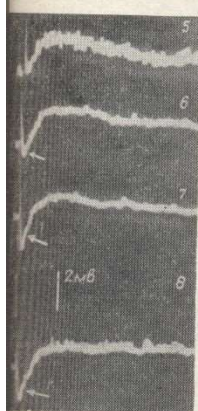
Детальніше взаємодію досліджували, оскільки це відповідно до мінімальному подразненню всіх волокон, ніж при парному подразненні, та, що виникли зміни величини ПАД в синапсах.

Детальніше взаємодію досліджували, оскільки це відповідно до мінімальному подразненню всіх волокон, ніж при парному подразненні, та, що виникли зміни величини ПАД в синапсах.



амонець

інколи Екклс, Шмідт і Вілліс [10], у корінці. Часто в поодинокому відносії виникає потенціал дії, який орієнтація (осцилограма 4, стрілка). активного волокна, розташованого у при ритмічному подразненні спо-



реєстровані послідовно від
то 5 хв. Глибина 600 мк.
а. Подразнення зазнав VII
ділається реакція біля входу
позок.

, як і в пасивному волокні. ПАД подразнення навіть до 300 на се-

нті мікроелектродного відведення (рис. 2). Коли мікроелектрод вдається, імовірно, поверхня волокна відводили потенціали, осцилограма верхня волокна погано охоплює, то між потенціалом дії і ПАД значене стрілкою. Через деякий змінивася. В місці знаходження знаєвало пошкодження, і тоді ми на осцилографах 7, 8. При порівненні, що величина пікового потенціалу між піком і ПАД. Падку ми реєстрували змішану потенціалу зсередини волокна і зовні

Діаметр аферентних волокон невеликий (1—22 мк) і тому неможливо не пошкодити волокно навіть в тому випадку, якщо діаметр кінчика мікроелектрода менше 0,2 мк. Але ми вважаємо, що ті волокна, електричні реакції яких описані в цьому повідомленні, були мало пошкоджені, а іноді мікроелектрод проникає у волокно дуже вдало, тому протягом деякого часу волокно функціонувало майже як в нормі.

Але дуже часто при внутріклітинному відведені потенціалів коливання потенціалу, яке слідує за піковим потенціалом, відображало слідову гіперполаризацію волокна (рис. 3, Б, осцилограми 3—5). В такому випадку піковий потенціал на фоні цього коливання був збільшений.

При відведені потенціалів від цілого дорсального корінця ми також спостерігали у відповідь на подразнення сусіднього корінця невелике позитивне коливання потенціалу перед тривалим негативним. Тому можна гадати, що коливання потенціалу, яке виникало перед тривалою деполяризацією у пасивному волокні (рис. 1), мабуть, може являти собою не тільки фокальний потенціал, а й гіперполаризацію волокна.

На рис. 3, Б можна бачити пікові потенціали на фоні ПАД. Величина таких потенціалів залежала від частоти подразнень, від слідових потенціалів: деполяризаційного і гіперполаризаційного. Вище ми відзначали (рис. 1, А і Б), що ПАД при ритмічному подразнюванні не підсумовувалася протягом усього періоду подразнення, а слідові потенціали могли підсумовуватися (рис. 3, Б, осцилограми 4, 5). Отже слідові потенціали, підсумовуючись, змінювали ПАД, а в зв'язку з цим змінювалася величина пікових потенціалів — то збільшувалася, то зменшувалася.

На рис. 3, А показано зміну величини поодинокого ортодромного пікового потенціалу під час ПАД. У відповідь на поодиноке подразнення невеликої кількості волокон VII лumbального заднього корінця у волокні, розташованому на глибині 800 мк, виникає потенціал дії, слідом за яким розвивалася ПАД. Якщо через 20—30 мсек після першого подразнення ми давали друге, то піковий потенціал, який виникає у відповідь на нього, був зменшений на величину, що дорівнює величині ПАД. В даному волокні він зменшувався на 7%, в другому волокні (Б) — на 8%. Зменшення амплітуди піків у різних волокнах було різним — на 5—8%.

Таким незначним зменшенням важко пояснити пресинаптичне гальмування ВПСП, яке досягає 50% і більше [5]. Екклс, Шмідт і Вілліс [10] що пояснили тим, що майже невідоме місце реєстрації ПАД. ПАД може бути зареєстрована досить далеко від синаптичних закінчення і, отже, тоді спостережувана деполяризація буде в кілька разів меншою, ніж та, що виникає в синапсах. Значить, зменшення амплітуди потенціалів дії в синапсах має бути більшим, ніж у волокні. Вивчити ж такі зміни в синапсах поки що неможливо.

Детальніше взаємодію ПАД і поодинокого потенціалу дії ми не досліджували, оскільки це зробили Екклс, Шмідт і Вілліс. При ритмічному подразнюванні волокна пікові потенціали змінивались інакше, ніж при парному подразнюванні. Так, при частоті подразнень до 100 на секунду амплітуда пікових потенціалів завжди зменшувалася тільки на величину, яка дорівнює ПАД. Але якщо частота подразнень становила більше 100 на секунду, то величина піків змінивася по-різному. Вона залежала від слідової деполяризації і гіперполаризації волокна. При великій частоті подразнення слідова деполяризація волокна збільшувалася. Сумація слідової гіперполаризації зменшувала

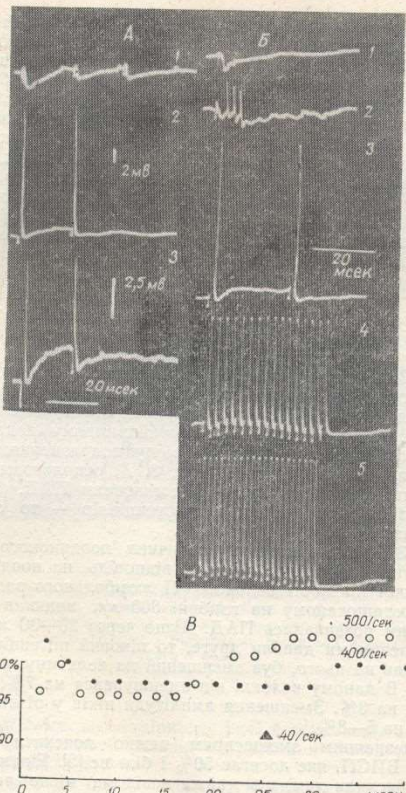


Рис. 3. Зміна величини пікових потенціалів під час ПАД.
A — активне волокно на глибині 600 мк. Подразнення зазув VII пломбальний корицер. Осцилограма 1 — реакція зовнішнього волокна, осцилограми 2 і 3 — всередині волокна. Мембраний потенціал 80 мВ.
B — глибина 800 мк. Осцилограми 1 і 2 — зовнішнє волокно; 3 і 5 — всередині волокна. Мембраний потенціал 60 мВ.
B — графік зміни величини пікового потенціалу під час ПАД і слідової гіперполаризації при різних частотах подразнення волокна. На вертикальній осі показана величина пікових потенціалів. За 100% прийнята величина першого пікового потенціалу. На горизонтальній осі відкладені інтервали між подразненнями в мсек.

ПАД, іноді повністю усуvalа її, а іноді у волокні розвивалась тривала гіперполаризація.

В наших дослідах ми звичайно спостерігали після пікового потенціалу невелику слідову деполяризацію, а слідом за нею невелику слі-

дову гіперполаризацію. Дуже рідко. Бували випадки, коли гіперполаризація, а слідом за нею гіперполаризація. В цьому повідомленні я третій опишемо в другому.

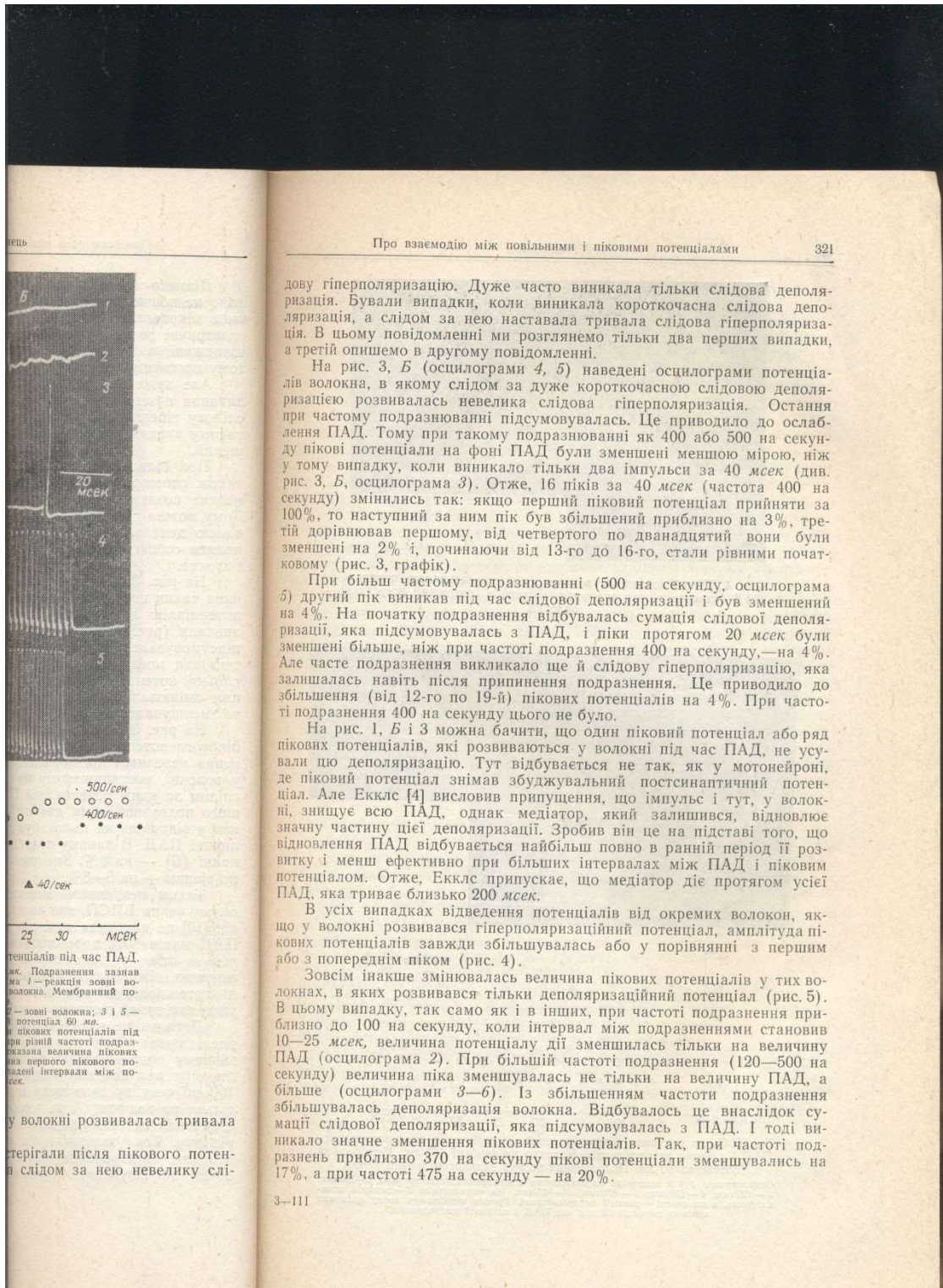
На рис. 3, B (осцилограма 3). На початку подразнення (20 мсек) змінились так: якщо пік виникав під час ПАД на 100%, то наступний за ним пік дорівнював першому, але зменшений на 2%, і починало зростати (рис. 3, графік).

При більш частому подразненню пік виникав під час ПАД на 4%. На початку подразнення (20 мсек) змінилась яка підсумовувалася зменшена більше, ніж при частоті подразнення 400/сек. Але частота подразнення виключно залишалась навіть після прискорення (від 12-го по 19-ті подразнення 400 на секунду).

На рис. 1, B і 3 можна побачити зміну величини пікових потенціалів, які розвиваються під час ПАД. Тут піковий потенціал зменшується під час ПАД, однак значну частину цієї деполяризації відбувається після піків. При частоті подразнення 400/секунду, яка триває близько 200 мсек, в усіх випадках відбувається, що у волокні розвивається гіперполаризація піків.

Зовсім інакше зміновалася величина пікових потенціалів відповідно до частоти подразнення. На рис. 3, B, відображено зміну величини пікових потенціалів під час ПАД і слідової гіперполаризації при різних частотах подразнення волокна. На вертикальній осі показана величина пікових потенціалів. За 100% прийнята величина першого пікового потенціалу. На горизонтальній осі відкладені інтервали між подразненнями в мсек.

Зовсім інакше зміновалася величина пікових потенціалів відповідно до частоти подразнення. На рис. 3, B, відображено зміну величини пікових потенціалів під час ПАД і слідової гіперполаризації при різних частотах подразнення волокна. На вертикальній осі показана величина пікових потенціалів. За 100% прийнята величина першого пікового потенціалу. На горизонтальній осі відкладені інтервали між подразненнями в мсек.



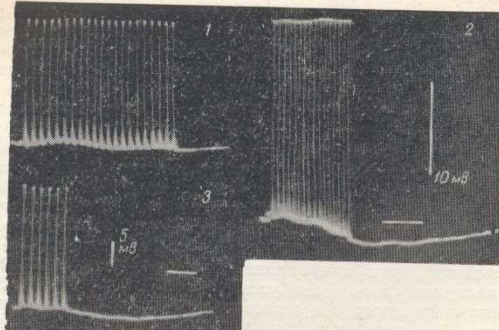


Рис. 4. Пікові потенціали волокон, в яких розвивалась поряд із ПАД і значна гіперполаризація. Відповіді одержані всередині волокна.

Пояснення в тексті.

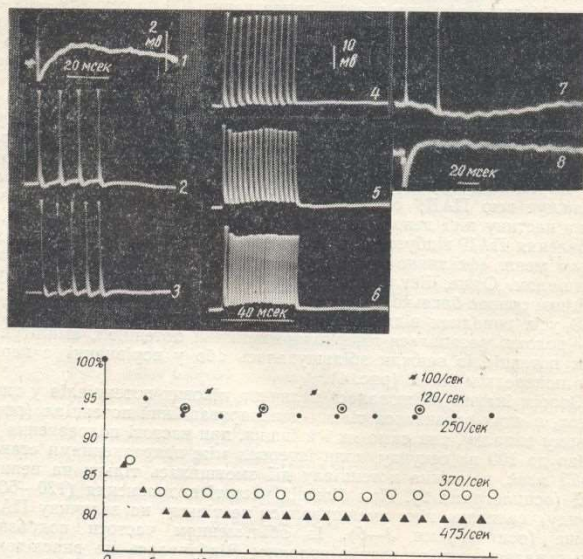


Рис. 5. Зміна величини пікових потенціалів волокна, в яких розвивалися ПАД і слідова деполяризація. Волокно на глибині 400 мк. Мембраний потенціал 60 мВ. Подразнення зазнав великогомілковий нерв.
3 — 120/сек; 4 — 275/сек; 5 — 370/сек; 6 — 475/сек. На осцилограмі 8 — реакція позаклітинна, а на решті — реакції внутріклітинні. Графік відображає зміну величини пікових потенціалів під час ПАД і слідової деполяризації.

Пояснити таке зменшення та відсутність змін в величині пікового потенціалу велічина ПАД і значна гіперполаризація. Відповіді одержані всередині волокна не можна.

Екклс, Шмідт і Віллс виявили, що пікового потенціалу величина ПАД і значна гіперполаризація. Відповіді одержані всередині волокна не можна.

Після частого подразнення різними стимулами у ньому розвивався на дії близько 20 мсек тривала деполяризація, який розвивається на 8% (осцилограма 7).

Ми гадаємо, що ця різниця в величині пікового потенціалу величина ПАД і значна гіперполаризація. Відповіді одержані всередині волокна не можна.

Отже при рідких подразненнях джерело електротонічно поширяється, яка дорівнює його величині. При більш часто подразненнях зменшення амплітуди відбувається від слідових цієї гіперполаризації. Якщо величина амплітуди коливань зменшується і дуже часто перебуває від слідових цієї гіперполаризації. Якщо величина амплітуди коливань зменшується і дуже часто перебуває від слідових цієї гіперполаризації. Це детально виведено в працях Екклса, Шмідта і Віллса.

1. Костюк П. Г.—Микроелектроди для вивчення мембраний потенціалу.
2. Мамонець Т. М.—Фізіологічні методи вивчення мембраний потенціалу.
3. Мещерський Р. М.—Методи вивчення мембраний потенціалу.
4. Eccles J.—The physiology of the nervous system.
5. Eccles J., Eccles R., Matthews B.—The physiology of the nervous system.
6. Eccles J., Kostyuk P., Krnevich K.—The physiology of the nervous system.
7. Eccles J., Krnevich K.—The physiology of the nervous system.
8. Eccles J., Magni F., Willmetts P.—The physiology of the nervous system.
9. Eccles J., Malcolm J.—The physiology of the nervous system.
10. Eccles J., Schmidt R.—The physiology of the nervous system.
11. Eldred E., Granit R., Matthews B.—The physiology of the nervous system.
12. Frank K., J. R. E. Trans. Med.
13. Frank K., Fuortes M.—Fe
14. Hunt C., Kuiffler S.—J. Physiol.
15. Koketsu K.—J. Physiol.
16. Maruhashi J., Mizuguchi T.—J. Physiol.
17. Matthews B.—J. Physiol.
18. Takeuchi A., Takeuchi T.—J. Physiol.

